

ТЕМПЕРАТУРНЫЙ ЭФФЕКТ НА ЭМИССИЮ СО₂ КСИЛОТРОФНЫМИ ГРИБАМИ И ДРЕВЕСНЫМ ДЕБРИСОМ

© 2023 г. Д. К. Дилярова^a, *, В. Д. Владыкина^b, В. А. Мухин^a

^aИнститут экологии растений и животных УрО РАН, Россия 620144 Екатеринбург, ул. 8 Марта, 202

^bУральский федеральный университет, Россия 620002 Екатеринбург, ул. Мира, 19

*e-mail: dasha_d@ipae.uran.ru

Поступила в редакцию 02.09.2022 г.

После доработки 09.12.2022 г.

Принята к публикации 10.01.2023 г.

Представлены данные, характеризующие температурную зависимость роста и эмиссии CO₂ двух видов ксилотрофных грибов (*D. confragosa* и *D. tricolor*) при их развитии на сусло-агаре и древесине в лабораторном эксперименте. Показано, что существующие в настоящее время оценки температурной динамики эмиссии CO₂ древесным дебриром не в полной мере учитывают связи между температурой, эмиссией CO₂, ростом и дыхательной активностью грибов. Установлено, что в диапазоне 10–30°C линейный рост и CO₂ эмиссионная активность мицелия грибов в одинаковой степени (Q_{10} роста – 2.2, Q_{10} дыхания – 2.1), положительно и линейно связаны с температурой (коэффициент корреляции Спирмена 0.94–0.97), а эмиссия CO₂ прямо пропорциональна величине мицелия и его удельной эмиссионной активности. Вследствие этого температурный эффект на эмиссию CO₂ – это производное от двух одинаково зависимых от температуры факторов: роста и удельной эмиссионной активности мицелия. Он равен произведению эффектов каждого из факторов в отдельности и описывается экспоненциальным уравнением, что отражает неаддитивный, возможно, синергический характер температурного усиления эмиссии CO₂ в пределах от 20 до 30°C.

Ключевые слова: древесный дебриз, ксилотрофные грибы, Basidiomycota, эмиссия CO₂, температура, климат, Средний Урал

DOI: 10.31857/S0367059723030034, **EDN:** EBCXMA

Основным трендом в современном изменении климата считается глобальный рост температуры [1], и это связывают с накоплением в атмосфере парниковых газов, основной из которых – CO₂ [2–4]. Поэтому в настоящее время большое внимание уделяется изучению углеродного цикла, его прямых и обратных связей с климатом. Леса играют исключительно важную роль в глобальном круговороте углерода, а специфическая черта их углеродного цикла – наличие в них надземного древесного пулла долговременного депонирования углерода. Его мобилизация достигается в ходе биологического разложения древесного дебриза, являющегося глобально-значимым пулом углерода и соответствующим по масштабу неттоисточником [3, 4]. Основные параметры процессов разложения древесного дебриза и его углеродно-кислородного газообмена определяют ксилотрофные базидиальные грибы (Basidiomycota, Agaricomycetes), которые из-за этого считаются биосферно-значимыми газо- и климатрегулирующими организмами [5].

Разложение древесного дебриза и его так называемое “углеродное дыхание” – это зависимые

от климата процессы, и актуально выяснение характера их связей с климатическими факторами и прежде всего температурой [6]. Установлено, что в диапазоне 10–30°C при повышении температуры на 10°C эмиссия CO₂ древесным дебризом возрастает в 1.4–4.1 раза [5, 7–12]. Поэтому “потепление климата”, скорее всего, приведет к усилению CO₂ эмиссионной активности древесного дебриза, и нельзя исключить, что это может быть одним из экологических факторов дестабилизации климатической системы Земли.

Имеющиеся оценки температурной зависимости “углеродного дыхания” древесного дебриза далеко не всегда учитывают то, что данный процесс – это результат жизнедеятельности ксилобионтных микробактериальных сообществ [5, 13]. Так, лишь в немногих работах [14–20] рассматривается эмиссия CO₂ древесным дебризом при его разложении базидиальными ксилотрофными грибами. При этом не учитывается, что температура – главный абиотический фактор не только активности дыхания грибов, но и их роста [5, 15]. На наш взгляд, имеющиеся прогнозные оценки

объемов эмиссии СО₂ древесным дебриром при “потеплении климата” недостаточно корректны.

Цель настоящей работы – изучить влияние температуры на эмиссию СО₂ с учетом ее эффекта на рост и газообмен грибов.

МАТЕРИАЛ И МЕТОДЫ

Влияние температуры на эмиссию СО₂ мицелием ксилотрофных грибов на сусло-агаре и при разложении ими древесного дебриса изучали на примере *Daedaleopsis confragosa* (Bolton: Fr.) J. Schröt. и *D. tricolor* (Bull.) Bondartsev et Singer. Образцы разрушаемых древесных остатков *Betula pendula* Roth и *Padus avium* Mill с базидиокарпами названных грибов отобраны в предлесостепных сосново-березовых лесах Сысерского района Свердловской области (56°36'5" с.ш., 61°3'24" в.д.). Определение грибов выполнено с использованием традиционных микологических методов [21], а их видовые названия приведены по MycoBank Database [22]. Дикариотические культуры были получены из базидиокарпов исследуемых грибов с использованием стандартных методов [23] и сусло (4%) - агара (2%) в качестве питательной среды.

Дизайн исследования включал два блока экспериментальных работ: 1) анализ влияния температуры на рост и СО₂ эмиссионную активность мицелия *D. confragosa* и *D. tricolor* на сусло-агаре; 2) изучение частного и совместного эффекта на эмиссию СО₂ размера и эмиссионной активности мицелия при развитии грибов на искусственной питательной среде и на естественных для них древесных субстратах.

Определение скорости роста мицелия и его эмиссионной активности в зависимости от температуры

Для изучения температурной динамики роста на сусло-агаре чашки Петри с мицелием *D. confragosa* и *D. tricolor* ($n = 4$) экспонировали в термостате при температуре 5, 10, 15, 20, 25, 30, 35, 40 ± 1°C. Периодически, через 1–3 сут, в зависимости от скорости роста мицелия измеряли его линейные размеры по четырем направлениям с последующим усреднением полученных данных и расчетом скорости роста мицелия (мм/сут). Температурный коэффициент роста мицелия рассчитывали по формуле

$$Q_{10G} = V_2/V_1, \quad (1)$$

где Q_{10G} – температурный коэффициент роста, V_1 – скорость роста при 20°C, V_2 – при 30°C.

Аналогично оценивали и зависимость эмиссии СО₂ от температуры: чашки Петри диаметром 5 см с растущим при 20°C на сусло-агаре мицелием *D. confragosa* и *D. tricolor* ($n = 3$) помещали в

экспозиционные камеры объемом 0.27 л и экспонировали последовательно в термостате при температуре 5, 10, 15, 20, 25, 30, 35, 40, 45, 50 ± 1°C в течение 30 мин, предварительно выдержав их 1 ч при соответствующей температуре. Эмиссию СО₂ оценивали по разности его концентрации в камерах до и после экспозиции. Содержание СО₂ измеряли с помощью ИК-Фурье спектрометра Gasmet DX-4030 (“Gasmet Technologies Oy”, Финляндия) с точностью ±50 ppm и рассчитывали удельную эмиссию СО₂ (E_{SA}) с учетом объема экспозиционных камер, находившихся в них образцов и длительности экспозиции на 1 см² площади мицелия (мкг С-СО₂/см²/ч) по формуле:

$$E_{SA} = \Delta\text{CO}_2(V_1 - V_2)/V_m M/S \times 0.27 \times 273/T, \quad (2)$$

а также на общую площадь мицелия (мкг С-СО₂/ч) – общая эмиссия (E_{GA}) – по формуле:

$$E_{GA} = \Delta\text{CO}_2(V_1 - V_2)/V_m M \times 0.27 \times 273/T, \quad (3)$$

где E_{GA} – общая эмиссия СО₂, ΔCO_2 – количество СО₂, выделенное мицелием за 1 ч (ppm/ч), V_1 – объем камеры (л), V_2 – объем образца (л), V_m – молярный объем (22.4 л/моль), M – молярная масса СО₂ (44 г/моль), S – площадь мицелия (см²), T – температура в градусах Кельвина (K).

Температурный коэффициент удельной эмиссии СО₂, показывающий кратность ее изменения при повышении температуры на 10°C, рассчитывали по формуле:

$$Q_{10SA} = E_{SA1}/E_{SA2}, \quad (4)$$

где Q_{10SA} – температурный коэффициент удельной эмиссии, E_{SA1} – удельная эмиссия при 20°C, E_{SA2} – при 30°C.

Температурный коэффициент общей эмиссии СО₂ рассчитывали по аналогичной формуле:

$$Q_{10GA} = E_{GA1}/E_{GA2}, \quad (5)$$

где Q_{10GA} – температурный коэффициент общей эмиссии, E_{GA1} – общая эмиссия при 20°C, E_{GA2} – при 30°C.

Определение совместного эффекта увеличения площади мицелия и удельной эмиссии СО₂ при повышении температуры

Влияние температуры и размера мицелия на эмиссию СО₂ проводили по следующей схеме (рис. 1).

1. Измеряли линейные размеры мицелия *D. confragosa* и *D. tricolor* в чашках Петри диаметром 10 см ($n = 5$) по четырем направлениям с последующим усреднением полученных данных и рассчитывали его площадь, затем оценивали эмиссию СО₂ при температуре экспонирования 20 и 30°C. Это позволяло оценить влияние темпе-

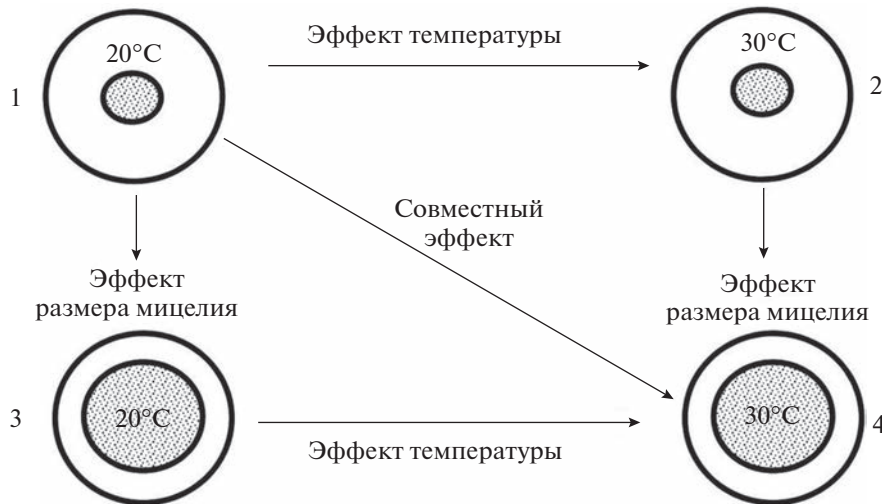


Рис. 1. Схема оценки CO₂ активности мицелия исходного размера при 20 (1) и 30°C (2) и при тех же температурных условиях через 3 сут (3, 4).

ратуры на эмиссию CO₂ при одинаковом размере мицелия.

2. Те же самые чашки ставили в термостат с температурой 20°C на 3 сут, по истечении которых измеряли размер мицелия и после 30-минутной экспозиции при 20°C оценивали эмиссию CO₂. Затем чашки помещали как минимум на 1 ч в термостат с температурой 30°C, камеры закрывали, измеряли исходное содержание в них CO₂ и экспонировали 30 мин при 30°C. По истечении этого времени повторно измеряли содержание CO₂, что позволяло оценить эмиссию CO₂ мицелием разного размера при разных (20 и 30°C) температурах экспонирования. Совместный эффект температуры и размера мицелия на эмиссию CO₂ оценивали по разности общей эмиссии CO₂ при исходном размере мицелия и температуре 20°C (1 на рис. 1) и при увеличившемся размере мицелия и температуре 30°C (4 на рис. 1).

Оценка влияния температуры, размера мицелия на эмиссию CO₂ древесины проведена на примере древесных остатков *Padus* и *Betula*, разрушаемых *D. confragosa* и *D. tricolor* соответственно. Древесные остатки очищали от почвы, подстилки, удаляли базидиокарпы грибов и распиливали на образцы толщиной 2 см и диаметром 5 см. Измеряли влажную массу и размеры образцов, а их абсолютно сухую массу определяли по окончании работ, высушивая при 105°C.

Схема оценки эмиссии CO₂ образцами древесины была та же, что и для мицелия на сусло-агаре (см. рис. 1). Однако в случае с древесиной невозможно напрямую оценить величину мицелия, и поэтому его развитие оценивали визуально по обрастианию им образцов через 7 сут (рис. 2). Совместный эффект температуры и увеличения раз-

мера мицелия на эмиссию CO₂ оценивали по ее разнице у одних и тех же образцов сначала при 20°C и через 7 сут при 30°C. Образцы древесины значительно различаются по эмиссии, поэтому в данном случае цель была не в том, чтобы получить статистически значимые результаты, а показать воспроизводимость температурных эффектов, наблюдавшихся у мицелия на сусло-агаре.

Статистическая обработка данных выполнена в программе Statistica 8.0 (StatSoft Inc., США). Средние арифметические значения (*m*) приведены со стандартными ошибками (*SE*). Для характеристики связей между переменными использован коэффициент корреляции Спирмена (*R*). При описании результатов статистического оценивания приведены значения соответствующего критерия и уровни его значимости.

РЕЗУЛЬТАТЫ

Влияние температуры на рост мицелия и эмиссию им CO₂ описываются одновершинными кривыми (рис. 3а). Как установлено в ходе данного эксперимента, у *D. confragosa* и *D. tricolor* оба процесса начинаются при 5°C, максимальная линейная скорость роста мицелия наблюдается у *D. confragosa* при 30°C, а у *D. tricolor* – при 35°C. В интервале 10–30°C мицелий обоих видов растет с одинаковой скоростью: *D. confragosa* – 3.29 ± 0.32, *D. tricolor* – 3.33 ± 0.38 мм/сут (*p* = 0.93, *n* = 20). Скорость роста тесно и положительно связана с температурой: для *D. confragosa* – *R* = 0.94 (*p* = 0.001, *n* = 20), для *D. tricolor* – *R* = 0.97 (*p* = 0.001, *n* = 20). Увеличение температуры с 10 до 20°C и с 20 до 30°C в одинаковой степени ускоряет линейный рост мицелия *D. confragosa* и *D. tricolor* – в 2.2 раза.



Рис. 2. Образцы древесины *Padus*, разрушенной *Daedaleopsis confragosa* (1), и *Betula*, разрушенной *D. tricolor* (3), при первом измерении эмиссии и через 7 сут (2, 4).

Температурные максимумы удельной эмиссии СО₂ выше, чем линейного роста мицелия: 35 (*D. confragosa*) – 45°C (*D. tricolor*). Эмиссия СО₂ также тесно и положительно ($p = 0.001$), как и рост, связана с температурой: коэффициенты корреляции 0.94 (*D. tricolor*) и 0.96 (*D. confragosa*). В диапазоне температур 10–30°C температурный коэффициент удельной эмиссии мицелия обоих грибов одинаков и равен 2.1. Довольно тесная положительная связь с температурой характерна и для эмиссии СО₂ образцами древесины, разрушенной *D. confragosa* ($R = 0.73$, $p = 0.002$, $n = 15$) и *D. tricolor* ($R = 0.86$, $p = 0.001$, $n = 15$), а ее температурный максимум наблюдается при 30°C для *D. confragosa* и 40°C – для *D. tricolor*. Температурный коэффициент эмиссии СО₂ древесиной в интервале 10–30°C равен 2.3 (см. рис. 3).

Характер изменения эмиссии СО₂ *D. confragosa* при росте площади мицелия и повышении температуры показан в табл. 1. При повышении температуры экспозиции с 20 до 30°C независимо от

площади мицелия как удельная, так и общая эмиссия СО₂ возрастают в 2.1–2.4, в среднем в 2.3 раза. И при 20°C, и при 30°C увеличение размера мицелия в 2.7 раза вызывает 3.6–4.0-кратное увеличение общей эмиссии СО₂. При одинаковой температуре экспозиции мицелий большего размера дает в 1.3 (при 30°C) – 1.5 (при 20°C) раза более высокую удельную эмиссию СО₂ (в среднем в 1.4 раза). Это, скорее всего, связано с тем, что такой показатель, как площадь мицелия, не учитывает его плотность, толщину, т.е. не в полной мере отражает его биомассу. Если учесть это, то рост общей эмиссии СО₂ полностью соответствует увеличению площади мицелия: 3.8/1.4 = 2.7.

При увеличении площади мицелия с 6.4 до 17.2 см² и температуры экспозиции с 20 до 30°C общая эмиссия СО₂ возрастает в 8.5 раза (с 66.4 ± 8.73 до 566.9 ± 22.66 мкг С-СО₂/ч), иными словами, ее повышение равно произведению температурного коэффициента эмиссии на увеличение площади и удельной эмиссии мицелия: $2.3 \times 2.7 \times 1.4 = 8.7$.

Таблица 1. Эмиссия СО₂ дикариотическим мицелием *Daedaleopsis confragosa* в зависимости от его площади и температуры, $m \pm SE$ ($n = 5$)

Температура, °C	Площадь мицелия, см ²	Эмиссия СО ₂	
		удельная, мкг С-СО ₂ /см ² /ч	общая, мкг С-СО ₂ /ч
20	6.4 ± 0.46	10.4 ± 0.72	66.4 ± 8.73
30	6.4 ± 0.46	24.5 ± 2.15	156.9 ± 16.56
20	17.2 ± 1.93	15.5 ± 1.19	266.9 ± 20.08
30	17.2 ± 1.93	32.9 ± 2.98	566.9 ± 22.66

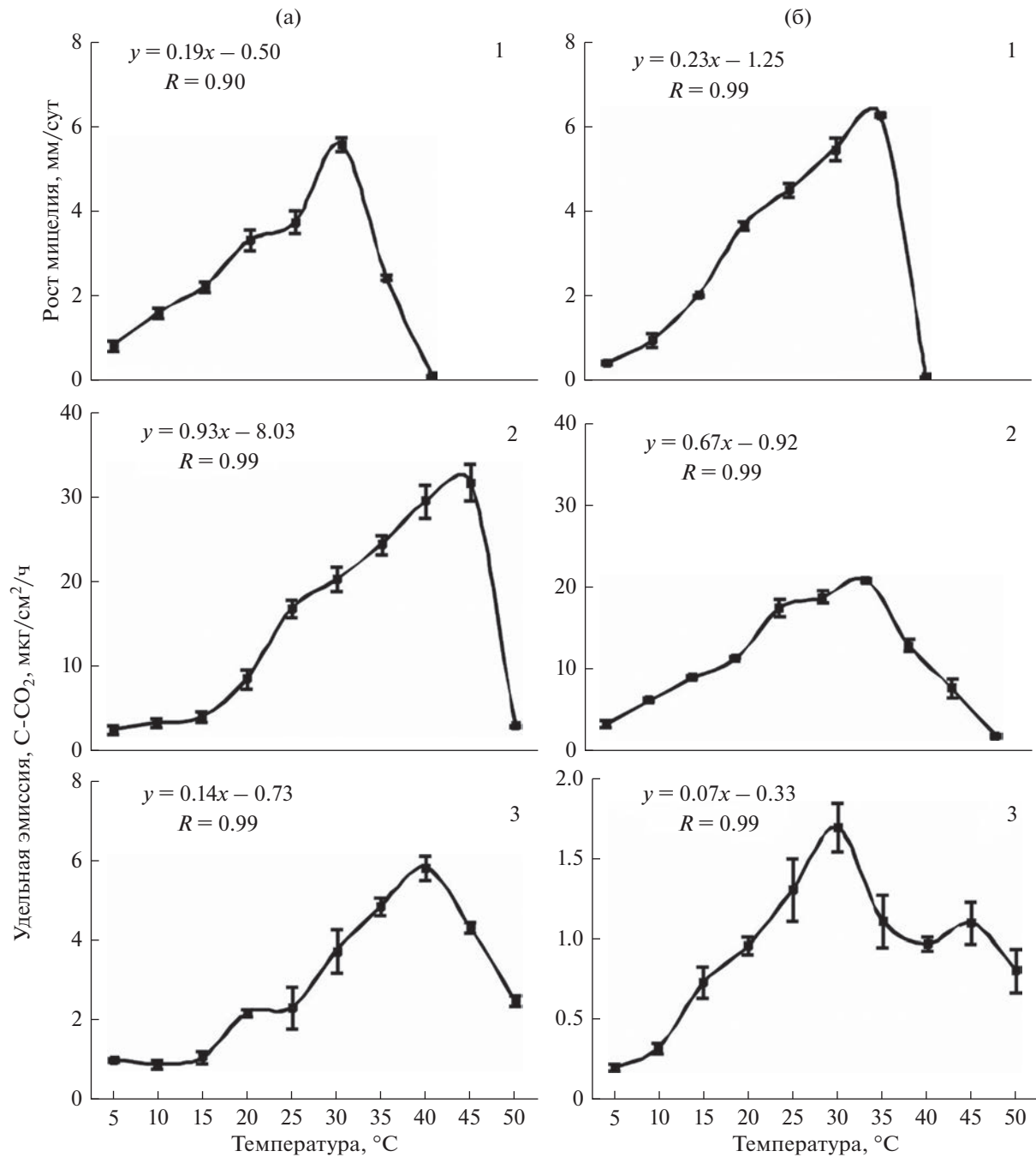


Рис. 3. Температурная зависимость роста (1) и удельной эмиссии CO_2 (2) мицелием *D. tricolor* (а) и *D. confragosa* (б) на сусло-агаре, а также удельной эмиссии CO_2 образцами древесины (3), разрушающей *D. tricolor* (а) и *D. confragosa* (б); приведены средние арифметические (m), $\pm SE$, а также уравнения линейной регрессии и коэффициент корреляции Спирмена (R) для диапазона температуры 10–30°C.

Эмиссия CO_2 мицелия *D. tricolor* на увеличение его площади и температуры аналогична таковой для *D. confragosa*. В ответ на повышение температуры с 20 до 30°C и удельная, и общая эмиссии возрастают в 1.9 раза, а рост площади мицелия в 2.3 раза и при 20°C, и при 30°C приводит к повышению общей эмиссии в 3.3 раза (табл. 2). Непро-

порциональный увеличению площади мицелия рост эмиссии, как и в случае с *D. confragosa*, можно объяснить тем, что с площадью мицелия возрастает и его удельная эмиссионная активность – в 1.3 (30°C) – 1.5 (20°C) раза. С учетом этого прирост эмиссии соответствует увеличению площади мицелия: 3.3/1.4 = 2.3.

Таблица 2. Эмиссия СО₂ дикариотическим мицелием *Daedaleopsis tricolor* в зависимости от его площади и температуры ($m \pm SE, n = 5$)

Температура, °C	Площадь мицелия, см ²	Эмиссия СО ₂	
		удельная, мкг С-СО ₂ /см ² /ч	общая, мкг С-СО ₂ /ч
20	13.8 ± 0.48	7.8 ± 0.37	107.5 ± 8.34
30	13.8 ± 0.48	14.7 ± 0.78	202.9 ± 16.15
20	31.5 ± 1.60	11.2 ± 0.25	351.9 ± 13.97
30	31.5 ± 1.60	21.3 ± 1.33	672.4 ± 8.93

При увеличении площади мицелия с 13.8 до 31.5 см² и температуры экспозиции с 20 до 30°C общая эмиссия возрастает с 107.5 ± 8.34 до 672.4 ± 8.93 мкг С-СО₂/ч, т.е. в 6.2 раза (см. табл. 2). Иначе говоря, итоговый рост эмиссии равен произведению температурного коэффициента эмиссии на увеличение площади и удельной эмиссии мицелия: $1.9 \times 2.3 \times 1.4 = 6.1$.

Анализ эмиссии СО₂ образцами древесины, разрушающей *D. confragosa*, показывает, что при увеличении температуры экспозиции с 20 до 30°C их исходная СО₂ эмиссионная активность возрастает в 1.6–2.7 раза, в среднем в 1.9 раза. Аналогично она реагирует на повышение температуры и через 7 сут: возрастает в зависимости от образца в 1.4–2.2 раза, в среднем в 1.7 раза. Через 7 сут (время, отведенное для увеличения размера мицелия) эмиссия СО₂ одноименными образцами по отношению к ее исходному уровню возрастает при 20°C в среднем в 2.7 раза, при 30°C – в 2.4 раза (табл. 3). За счет этого, а также увеличения температуры экспозиции до 30°C эмиссия повышается до 810.4 мкг С-СО₂/ч и превышает исходную в 4.6 раза (см. табл. 3), а ее возрастание соответствует произведению температурного коэффициента общей эмиссии (1.9) на коэффициент ее увеличения (2.5) за 7 сут: $1.9 \times 2.5 = 4.8$.

Таблица 3. Эмиссия СО₂ образцами древесины, разрушающей *Daedaleopsis confragosa*, в зависимости от температуры и размера мицелия

Температура, °C	Мицелий	Общая эмиссия СО ₂ , мкг С-СО ₂ /ч		
		образцы		среднее
		1	2	
20	Исходный	96.6	256.9	176.8
30	Исходный	257.8	421.0	339.4
20	Через 7 сут	361.6	604.3	482.9
30	Через 7 сут	779.4	841.4	810.4

Подобным образом на увеличение температуры экспозиции и развитие мицелия реагирует и эмиссия образцов древесины, разрушающей *D. tricolor*. При исходном размере мицелия в ответ на повышение температуры экспозиции с 20 до 30°C она возрастает в среднем в 1.6 раза, а через 7 сут – в 1.3 раза. Через 7 сут эмиссия СО₂ образцами возрастает по отношению к исходной при 20°C в 2.6 раза, а при 30°C – в 2.0 раза (табл. 4), что связано с увеличением размера мицелия за прошедшее время. В итоге общая эмиссия СО₂ образцами древесины через 7 сут при 30°C превышает исходную при 20°C в 3.4 раза (481.6 мкг С-СО₂/ч против 142.9 мкг С-СО₂/ч), и ее увеличение равно произведению температурного коэффициента эмиссии (1.4) на коэффициент ее увеличения (2.4) за 7 сут: $1.4 \times 2.3 = 3.2$ (см. табл. 4).

ОБСУЖДЕНИЕ РЕЗУЛЬТАТОВ

Данные, характеризующие влияние температуры на “углеродное дыхание” древесного дебриза, основываются на оценках количества СО₂, эмитируемого в единицу времени с единицы массы, площади древесного дебриза при определенной температуре – удельная эмиссия. Однако, по нашему мнению, она характеризует лишь ту часть “углеродного дыхания” дебриза, которая связана с прямым влиянием температуры на дыхательную активность грибов-деструкторов.

Как показывают результаты настоящего исследования, удельная эмиссия СО₂ образцами древесины, разрушамыми *D. confragosa* и *D. tricolor*, в диапазоне 10–30°C возрастает пропорционально росту температуры, и при ее увеличении на 10°C усиливается в 2.1–2.3 раза. Это соответствует литературным данным [5, 7–12], согласно которым температурный коэффициент эмиссии СО₂ древесным дебризом варьирует от 1.4 до 4.1. Нами, в частности, на основе температурного коэффициента была разработана температурная шкала эмиссионной активности древесного дебриза [27] и дана оценка прироста в России эмис-

ции CO_2 древесным дебриром при “потеплении климата” [28].

Однако удельная эмиссия CO_2 не учитывает такой важный фактор, как величина продуцирующей CO_2 биомассы, в нашем случае мицелия ксилотрофных грибов. Это один из факторов, влияющих на интенсивность разложения древесных остатков [20, 26], а соответственно и на их “углеродное дыхание”. Результаты нашего исследования показывают, что эмиссия CO_2 ксилотрофными грибами прямо пропорциональна не только удельной CO_2 эмиссионной активности мицелия, но и его размеру, увеличение которого сопровождается соответствующим ростом эмиссии.

В диапазоне температур 10–30°C рост мицелия и его удельная CO_2 эмиссионная активность – это два функционально связанных ($R = 1.0$), одинаково реагирующих на температуру ($Q_{10} = 2.2$) процесса. При повышении температуры их совместный эффект на общую эмиссию CO_2 ксилотрофными грибами и разруаемыми ими древесными остатками в 2–4 раза превышает таковой, оцениваемый только по температурной зависимости удельной эмиссии, и равен произведению эффектов каждого из этих факторов отдельно. Связь между температурой в диапазоне 20–30°C, общей эмиссией CO_2 , ростом мицелия и его удельной дыхательной активностью можно описать следующей выведенной по полученным данным формулой:

$$E_{\text{GA}} = E_{\text{SA}} Q_{10\text{SA}}^{(T_2-T_1)/10} Q_{10\text{G}}^{(T_2-T_1)/10}, \quad (6)$$

где E_{GA} – общая эмиссия CO_2 при температуре T_2 ; E_{SA} – удельная эмиссия при температуре T_1 ; $Q_{10\text{SA}}$ – температурный коэффициент удельной эмиссии CO_2 ; $Q_{10\text{G}}$ – температурный коэффициент линейного роста мицелия.

Согласно формуле [6], повышение температуры от 20 до 30°C, наиболее интересном для понимания влияния последствий “потепления климата”, будет сопровождаться экспоненциальным ростом CO_2 эмиссионной активности ксилотрофных грибов и соответственно эмиссии CO_2 древесным дебриром.

Таким образом, эмиссия CO_2 ксилотрофными грибами и разруаемыми ими древесными остатками определяется ростом мицелия и его удельной эмиссией. Температурный эффект их совместного влияния на общую эмиссию CO_2 равен произведению эффектов каждого из двух факторов, что определяет его неаддитивный, возможно, синергический характер и экспоненциальный рост эмиссии CO_2 при повышении температуры в пределах от 20 до 30°C.

Таблица 4. Эмиссия CO_2 образцами древесины, разрушенной *Daedaleopsis tricolor*, в зависимости от температуры и размера мицелия

Температура, °C	Мицелий	Общая эмиссия CO_2 , мкг C- $\text{CO}_2/\text{ч}$		
		образцы		среднее
		1	2	
20	Исходный	127.1	158.8	142.9
30	Исходный	149.7	317.3	233.5
20	Через 7 сут	226.2	505.2	365.7
30	Через 7 сут	340.4	622.7	481.6

Исследование выполнено при поддержке Российского научного фонда (проект № 22-24-00970). Авторы благодарны д.б.н. Е.Л. Воробейчуку за конструктивное обсуждение результатов исследования.

Авторы подтверждают отсутствие конфликта интересов.

СПИСОК ЛИТЕРАТУРЫ

- Christensen J.H., Hewitson B., Busuioc A. et al. Regional climate projections // Climate change 2007: The physical science basis. Contribution of working group I to the fourth assessment report of the intergovernmental panel on climate change / Eds. Solomon S., Qin D., Manning M. et al. New York: Cambridge University Press, USA, 2007. P. 848–940.
- Груза Г.В., Ранькова Э.Я. Наблюдаемые изменения современного климата // Возможности предотвращения изменения климата и его негативных последствий: проблема Киотского протокола: Мат-лы Совета-семинара при президенте РАН / Под ред. Израэля Ю.А. М.: Наука, 2006. С. 60–74.
- Заварзин Г.А. Углеродный баланс России // Возможности предотвращения изменения климата и его негативных последствий: проблема Киотского протокола: Мат-лы Совета-семинара при президенте РАН / Под ред. Израэля Ю.А. М.: Наука, 2006. С. 134–151.
- Кудеяров В.Н., Заварзин Г.А., Благодатский С.А. и др. Пулы и потоки углерода в наземных экосистемах России. М.: Наука, 2007. 315 с.
- Mukhin V.A., Diyarova D.K., Gitarskiy M.L. et al. Carbon and oxygen gas exchange in woody debris: the process and climate-related drivers // Forests. 2021. V. 12. № 9. 1156. <https://doi.org/10.3390/f12091156>
- Kirschbaum M.U.F. The temperature dependence of soil organic matter decomposition and the effect of global warming on soil organic C storage // Soil Biology & Biochemistry. 1995. V. 27. P. 753–760. [https://doi.org/10.1016/0038-0717\(94\)00242-S](https://doi.org/10.1016/0038-0717(94)00242-S)
- Chen H., Harmon M.E., Griffiths R.P. et al. Effects of temperature and moisture on carbon respired from decomposing woody roots // Forest Ecology and Management. 2005. V. 197. P. 15–22.

- agement. 2000. V. 138. P. 51–64.
[https://doi.org/10.1016/S0378-1127\(00\)00411-4](https://doi.org/10.1016/S0378-1127(00)00411-4)
8. Mackensen J., Bauhus J., Webber E. Decomposition rates of coarse woody debris: a review with particular emphasis on Australian tree species // Australian Journal of Botany. 2003. I. 51. P. 27–37.
<https://doi.org/10.1071/BT02014>
9. Gough C.M., Vogel C.S., Kazanski C. et al. Coarse woody debris and the carbon balance of a north temperate forest // Forest Ecology and Management. 2007. V. 244. P. 60–67.
<https://doi.org/10.1016/j.foreco.2007.03.039>
10. Wu J., Zhang X., Wang H. et al. Respiration of downed logs in an old-growth temperate forest in north-eastern China // Scandinavian Journal of Forest Research. 2010. V. 25. № 6. P. 500–506.
<https://doi.org/10.1080/02827581.2010.524166>
11. Olajuyigbe S., Tobin B., Nieuwenhuis M. Temperature and moisture effects on respiration rate of decomposing logs in a Sitka spruce plantation in Ireland // Forestry. 2012. V. 85. P. 485–496.
<https://doi.org/10.1093/forestry/cps045>
12. Herrmann S., Bauhus J. Effects of moisture, temperature and decomposition stage on respirational carbon loss from coarse woody debris (CWD) of important European tree species // Scandinavian Journal of Forest Research. 2012. V. 28. № 4. P. 346–357.
<https://doi.org/10.1080/02827581.2012.747622>
13. Tláskal V., Brabcová V., Větrovský T. et al. Complementary roles of wood-inhabiting fungi and bacteria facilitate deadwood decomposition // mSystems. 2021. V. 6. № 1. e01078-20.
<https://doi.org/10.1128/mSystems.01078-20>
14. Barker J.S. Decomposition of Douglas-fir coarse woody debris in response to differing moisture content and initial heterotrophic colonization // Forest Ecology and Management. 2008. V. 255. P. 598–604.
<https://doi.org/10.1016/j.foreco.2007.09.029>
15. A'Bear A.D., Murray W., Webb R. et al. Contrasting effects of elevated temperature and invertebrate grazing regulate multispecies interactions between decomposer fungi // PLoS ONE. 2013. V. 8. № 10. e77610.
<https://doi.org/10.1371/journal.pone.0077610>
16. Forrester J.A., Mladenoff D.J., D'Amato A.W. et al. Temporal trends and sources of variation in carbon flux from coarse woody debris in experimental forest canopy openings // Oecologia. 2015. V. 179. P. 889–900.
<https://doi.org/10.1007/s00442-015-3393-4>
17. Carlsson F., Edman M., Jonsson B.G. Increased CO₂ evolution caused by heat treatment in wood-decaying fungi // Mycological Progress. 2017. V. 16. P. 513–519.
<https://doi.org/10.1007/s11557-017-1281-5>
18. Venugopal P., Junninen K., Linnakoski R. et al. Climate and wood quality have decayer-specific effects on fungal wood decomposition // Forest Ecology and Management. 2016. V. 360. P. 341–351.
<https://doi.org/10.1016/j.foreco.2015.10.023>
19. Rubenstein M.A., Crowther T.W., Maynard D.S. et al. Decoupling direct and indirect effects of temperature on decomposition // Soil Biology and Biochemistry. 2017. V. 112. P. 110–116.
<https://doi.org/10.1016/j.soilbio.2017.05.005>
20. Edman M., Hagos S., Carlsson F. Warming effects on wood decomposition depend on fungal assembly history // Journal of Ecology. 2021. V. 109. P. 1919–1930.
<https://doi.org/10.1111/1365-2745.13617>
21. Ryvarden L., Gilbertson R.L. European Polypores. Pt. 1 (Abortiporus-Lindtneria). Oslo: Fungiflora, 1993. 387 p.
22. The MycoBank engine and related databases [Electronic resource]. URL: <http://www.mycobank.org>. (дата обращения: 1 авг. 2022).
23. Методы экспериментальной микологии: Справочник / Дудка И.А., Вассер С.П., Элланская И.А. и др.; отв. ред. В.И. Билай. Киев: Наукова думка, 1982. 550 с.
24. Заварзин Г.А., Заварзина А.Г. Ксилотрофы и мицофильные бактерии при образовании дистрофических вод // Микробиология. 2009. Т. 78. № 5. С. 579–591.
25. Humphrey C.J., Siggers P.V. Temperature relations of wood-destroying fungi // Journal of Agricultural Research. 1933. V. 47. № 12. P. 997–1008.
26. Jomura M., Yoshida R., Michalčíková L. et al. Factors controlling dead wood decomposition in an old growth temperate forest in Central Europe // Journal of Fungi. 2022. V. 8. P. 1–14.
<https://doi.org/10.3390/jof8070673>
27. Мухин В.А., Воронин П.Ю., Сухарева А.В. Температурная шкала СО₂ эмиссионной активности трутовых грибов // Проблемы лесной фитопатологии и микологии: сборник материалов VII междунар. конф. / Науч. ред. Переведенцева Л.Г., Стороженко В.Г., Егошина Т.Л. Пермь, 2009. С. 138–141.
28. Mukhin V.A., Voronin P.Y., Sukhareva A.V. et al. Wood decomposition by fungi in the boreal-humid forest zone under the conditions of climate warming // Doklady Biological Sciences. 2010. V. 431. P. 110–112.
<https://doi.org/10.1134/S0012496610020110>